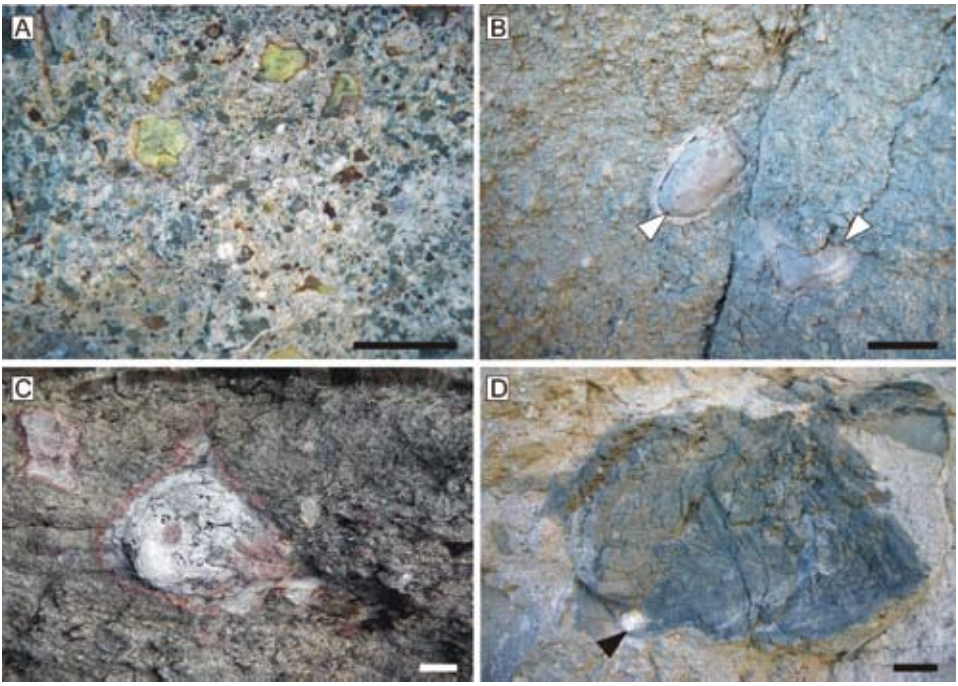

Figura 10: Diferentes aspectos de detalle del complejo freatomagmático. A. Detalle de la matriz de la brecha freatomagmática con granos carbonatados (blancos) de la roca de caja y lapilli moderadamente vesicular (granos grises). Los granos verdes corresponden a enstatita de la roca lamproítica. Escala=1 cm. B. Cantos blancos (flechas) con halos de alteración concéntrica embebidos en una matriz de lapilli y cenizas. Escala=5 cm. C. Fragmento de roca de caja (canto blanco) con halo de alteración concéntrico dentro de la brecha freatomagmática. Escala=1 cm. D. Bomba piroclástica moderadamente vesicular con apariencia fluidal incluida en la brecha freatomagmática. Nótese que en el borde inferior incorpora un canto blanco (flecha negra). Escala=10 cm.

Desde el punto de vista mineralógico, se reconocen cristales que se han identificado a partir del análisis petrográfico y de SEM. Se trata de fenocristales de olivino forsterítico $Fe_{0.16}\,Mg_{1.82}\,SiO_4$ y enstatita $(Si_{1.89}\,Al_{0.20})O_4\,(Al_{0.19}\,Fe_{0.11}\,Mg_{1.48}\,Ti_{0.01})\,Ca_{0.15}$, que presentan hábito hipidiomorfo o xenomorfo, aspecto alterado y que se hallan fracturados. Estos granos minerales se encuentran inmersos en una matriz de grano muy fino de naturaleza calcítica y con presencia, en menor proporción, de minerales de la arcilla (Figs. 11 y 12). El estudio por DRX ha permitido reconocer calcita, dolomita, enstatita, saponita (esmectita magnésica a 15 Å), montmorillonita (pico a 17 Å) y politipos de la serpentina (antigorita y lizardita) (Figs. 11 y 12). En SEM, las fotos de electrones retrodispersados

Biblioteca Digital de Albacete «Tomás Navarro Tomás»